

USING THE METHOD OF INTEGRAL FOURIER TRANSFORM TO SOLVE THE PROBLEM OF NONSTATIONARY DEFORMATION OF AN ELASTIC MEDIUM

¹*Sapehin V.N.*

¹*Institute of Geotechnical Mechanics named by N. Poljakov of National Academy of Sciences of Ukraine*

ВИКОРИСТАННЯ МЕТОДУ ІНТЕГРАЛЬНОГО ПЕРЕТВОРЕННЯ ФУР'Є ДЛЯ ВИРІШЕННЯ ЗАДАЧІ НЕСТАЦІОНАРНОЇ ДЕФОРМАЦІЇ ПРУЖНЬОГО СЕРЕДОВИЩА

¹*Сапегін В.М.*

¹*Інститут геотехнічної механіки ім. М.С. Полякова НАН України*

ИСПОЛЬЗОВАНИЕ МЕТОДА ИНТЕГРАЛЬНОГО ПРЕОБРАЗОВАНИЯ ФУРЬЕ ДЛЯ РЕШЕНИЯ ЗАДАЧИ НЕСТАЦИОНАРНОЙ ДЕФОРМАЦИИ УПРУГОЙ СРЕДЫ

¹*Сапегин В.Н.*

¹*Институт геотехнической механики им. Н.С. Полякова НАН Украины*

Abstract. For the first time in the article, the method of integral Fourier transform is used to solve the wave equation. As a result of applying the direct and inverse Fourier transforms, analytical expressions are obtained for calculating displacements and stresses in wells under the action of variable internal pressure. Features of the second kind were excluded by the half division method. The calculation of the Fourier Bessel integrals of rapidly oscillating functions was carried out according to the standard program using the Gauss-Kronrod quadrature formula taking into account the periodic system of infinite discontinuity. It is established that the nature of the change in stress over time, after the termination of the force, is oscillatory and decaying. It was found that the shorter the pressure relief time, the greater the tensile stresses on the inner contour of the well cavity, which vary in hyperbolic dependence. For given parameters of the elastic medium with a fall time of less than 0.01 s, a sharp increase in radial and tangential stresses is observed. It is established that the nature of the change in tangential stresses in time after the termination of the force is oscillatory in nature, with the same period of damped oscillations. The greater the value of radial compressive stresses at the time of complete pressure relief, the more accumulated elastic energy passes into tensile radial and tangential stresses. With an increase in the inner radius of the cylindrical cavity in the studied range from 0.05 m to 0.3 m, the radial stresses linearly increase after the release of the internal pressure. Radial tensile stresses are directly proportional to the amplitude of the internal load (pressure) before it is discharged from the well. An analytical solution of the plane problem for calculating displacements and stresses is obtained, which allows them to be calculated in semi-infinite and infinite elastic media. The solution is stable when the ratio of the external and internal radii of the elastic medium is greater than or equal to 1000. In this paper, we consider the initiation phase, which precedes the layered separation of the elastic medium. The reliability and practical value of the proposed calculation method is confirmed by data from mine and laboratory studies obtained by other authors.

Keywords: stress, pressure relief, Fourier integral transform method.

Introduction. Gas-bearing coal and sandstone are a complex fractured-porous medium with different systems of macropores, micropores and cracks of various specific lengths, thicknesses, medium gaping and specific surfaces. The impact on the well is carried out in a limited volume of the gas-bearing medium under conditions when the mountain massif is in a loaded state and when there is no intensive gas filtration and active crack growth. In this case, in the first approximation, a defective stochastic medium can be considered, according to the hypothesis of R.L. Salganik, as homogeneous, and the dynamic problem of determining stresses and displacements can be solved by the elastic homogeneous medium model [1]. This task has a wide

practical application in the mining industry. After the internal pressure of the working agent is quickly released in the well, tensile stresses occur in the marginal zone of the cylindrical cavity of the well, thereby stimulating the formation of cracks and gas release from the array. In this case, the effect of inertial forces is used. Many analytical solutions are obtained mainly for simple cases, namely, for a homogeneous elastic or elastoplastic model of the medium. The most famous decision on the dynamic loading of an elastic thick-walled hollow cylinder was obtained by A.N. Krylov by the method of separation of Fourier variables in the form of an infinite series in its own forms of oscillations.

It is widely used in the calculation of dynamic stresses and displacement around wells under the action of a variable internal load [2].

The solution of the wave equation in displacements is a discontinuous function, has a limited region of convergence due to the fact that an infinite series with features of the second kind is used. In this case, the known method cannot be applied to calculate dynamic stresses around wells with large external boundaries. The area of this solution is limited by the ratios of the inner and outer radii of the elastic cylinder not exceeding 1 in 10 [2].

Problem definition and solution method. Solving the problems of the theory of elasticity for infinite and semi-infinite bodies is effectively performed by the method of the integral Fourier transform [3]. Using the integral Fourier transform, we consider a plane axisymmetric deformation of an elastic medium for a well that has been drilled through a rock plug either across the strike or along the strike of the coal seam. Arbitrarily varying temporal pressure was applied inside the well $\psi(t)$, and at infinity the rock pressure was assumed to be zero.

The initial static stress field or rock pressure forces can be taken into account by the well-known Lamé equations for a hollow thick-walled cylinder and the Kolosov-Muskhelishvili solution, which takes into account the different components of the external static stress field for the case of plane strain.

The resulting stress value in the vicinity of the well will be determined taking into account the static (rock pressure) and dynamic components of the stress fields from the action of the internal pressure using the linear superposition method.

The displacement vector will have a radial component depending on the radius and time. We solve the problem in a cylindrical coordinate system. The basic wave equation for the motion of an elastic medium under the influence of variable internal pressure will have the form [2]:

$$r^2 \cdot \frac{\partial^2 u_r}{\partial r^2} + r \cdot \frac{\partial u_r}{\partial r} - u_r = \frac{r^2}{v_p^2} \cdot \frac{\partial^2 u_r}{\partial t^2}, \quad (1)$$

where $u_r(r,t)$ – radial displacement of the elastic medium, m; t – the time of the deformation process, s; v_p – the velocity of the elastic wave, m/s.

Boundary conditions on the inner and outer surface of the well:

$$\sigma_r|_{r=r_0} = -\bar{\psi}; \quad \sigma_r|_{r=r_N} = 0, \quad (2)$$

where r_0 – the inner radius of the well, m; r_N – outer radius of the cylinder, m.

Applying the direct Fourier transform with respect to time t to equation (1) and boundary conditions (2), we obtain an ordinary second-order differential equation for the displacement transform and the transformation parameter ω . This equation is the Bessel equation (3), the general solution of which is known (4, 5) [3]:

$$r^2 \cdot \frac{d^2 u_{0r}}{dr^2} + r \cdot \frac{du_{0r}}{dr} + \left(\frac{r^2}{\nu_p^2} \cdot \omega^2 - 1 \right) \cdot u_{0r} = 0, \quad (3)$$

$$\sigma_{0r}|_{r=r_0} = -\bar{\psi}(\omega); \quad \sigma_{0r}|_{r=r_N} = 0, \quad (4)$$

$$u_{0r} = A(\omega) \cdot J_1\left(\frac{\omega \cdot r}{\nu_p}\right) + B(\omega) \cdot Y_1\left(\frac{\omega \cdot r}{\nu_p}\right), \quad (5)$$

where $A(\omega)$, $B(\omega)$ – arbitrary constants that depend on the transformation parameter ω and are determined from the boundary conditions (4); ω – transformation parameter, 1/s; J_1 , Y_1 – Bessel functions of the first and second kind of the first order; u_{0r} – transformant displacement, m; $\bar{\psi}$ – load transformant; σ_{0r} – transformant of radial stress, Pa.

Using the known formulas for the case of plane strain for radial and tangential stresses in displacements and applying to them the direct integral Fourier transform with respect to time, we obtain:

$$\begin{aligned} \sigma_{0r} &= \frac{E}{1-\nu^2} \cdot \left(\frac{du_{0r}}{dr} + \nu \cdot \frac{u_{0r}}{r} \right); \\ \sigma_{0\theta} &= \frac{E}{1-\nu^2} \cdot \left(\frac{u_{0r}}{r} + \nu \cdot \frac{du_{0r}}{dr} \right), \end{aligned} \quad (6)$$

where E – is the modulus of elasticity, Pa; ν – Poisson's ratio; σ_{0r} – transformant radial stress, Pa; $\sigma_{0\theta}$ – transformant tangential stress, Pa.

Substituting the expression for bias conversion (5) into equations (6) and using formulas for differentiating Bessel functions of the first kind and second kind and formulas connecting the Bessel functions of the first and second kind of zero and first orders, we obtain for the transformant radial and tangential stress with the expression (6) and the notation

$\xi = \omega \cdot r_0 / \nu_p$ the following formulas (7) and (8):

$$\frac{\sigma_{0r}}{2G} = A \cdot \left[\left(\frac{1}{1-\nu} \cdot \frac{\xi}{r_0} \cdot J_0 \left(\xi \cdot \frac{r}{r_0} \right) - \frac{1}{r} \cdot J_1 \left(\xi \cdot \frac{r}{r_0} \right) \right) + \right. \\ \left. + B \cdot \left[\left(\frac{1}{1-\nu} \cdot \frac{\xi}{r_0} \cdot Y_0 \left(\xi \cdot \frac{r}{r_0} \right) - \frac{1}{r} \cdot Y_1 \left(\xi \cdot \frac{r}{r_0} \right) \right) \right] \right] \quad (7)$$

$$\frac{\sigma_{0\theta}}{2G} = A \cdot \left[\left(\frac{\nu}{1-\nu} \cdot \frac{\xi}{r_0} \cdot J_0 \left(\xi \cdot \frac{r}{r_0} \right) + \frac{1}{r} \cdot J_1 \left(\xi \cdot \frac{r}{r_0} \right) \right) + \right. \\ \left. + B \cdot \left[\left(\frac{\nu}{1-\nu} \cdot \frac{\xi}{r_0} \cdot Y_0 \left(\xi \cdot \frac{r}{r_0} \right) + \frac{1}{r} \cdot Y_1 \left(\xi \cdot \frac{r}{r_0} \right) \right) \right], \quad (8)$$

where J_0, Y_0 – are Bessel functions of the first and second kind of order zero; G – is the shear modulus, Pa.

To simplify the writing of formulas, we introduce the notation and function:

$$\xi_N = r_N/r_0 \cdot \xi; \beta = r_N/r_0; \\ Y_{jn}(\xi_N, \xi) = J_j(\xi_N) \cdot Y_n(\xi) - J_n(\xi) \cdot Y_j(\xi_N); r_1 = r/r_0; \\ q = \frac{1+\nu}{2} \quad (9)$$

Formulas for defining arbitrary constants will have the following form (9), (10):

$$A = \frac{-r_0 \cdot q \cdot \bar{\psi}(\xi) \cdot \nu_p \cdot \beta \cdot \nu_p \cdot \xi \cdot Y_0(\beta \cdot \xi) + q \cdot Y_1(\beta \cdot \xi) \cdot \nu_p}{C} \quad (10)$$

$$B = \frac{r_0 \cdot q \cdot \bar{\psi}(\xi) \cdot \nu_p \cdot \beta \cdot \nu_p \cdot \xi \cdot J_0(\beta \cdot \xi) + q \cdot J_1(\beta \cdot \xi) \cdot \nu_p}{C} \quad (11)$$

where

$$C = 2G \cdot \left[\nu_p \cdot \beta \cdot \nu_p / r_0 \cdot \xi \cdot Y_{10}(\beta \cdot \xi, \xi) + \right. \\ \left. + r_N \cdot Y_{01}(\beta \cdot \xi, \xi) + q \cdot Y_{11}(\beta \cdot \xi, \xi) \cdot \nu_p \right] \quad (12)$$

$\bar{\psi}(\xi)$ – load transformant.

$$D = r_0 \cdot r_N \cdot \left(\frac{\nu_p}{r_0} \cdot \xi \right)^2 \cdot Y_{00}(\beta \cdot \xi, \xi);$$

Consider the most common case in the mountain practice of calculating displacements and stresses in the vicinity of a well for pressure, which increases

according to a linear law, in a regime close to static. In this feed mode, the maximum accumulation of energy in the elastic coal-rock array occurs, and then it is quickly reset, for example, according to a linear law.

The calculated scheme of the pressure change of the working agent in time in the well is shown in Figure 1 and formula (13).

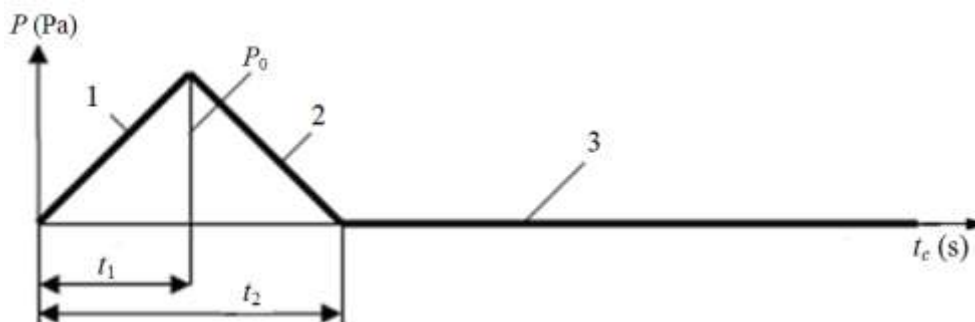
$$\psi = \begin{cases} k_1 \cdot t, & 0 \leq t \leq t_1 \\ -k_2 \cdot (t - t_2), & t_1 \leq t \leq t_2 \\ 0, & t \geq t_2 \end{cases} \quad (13)$$

where $k_1 = P_0/t_1$, Pa/s; $k_2 = P_0 / (t_2-t_1)$, Pa/s; P_0 – maximum value (amplitude) of internal pressure, Pa; t_1 – is the total time of pressure rise, counted from the origin, s; t_2 – is the time from the origin to the moment of complete pressure relief, s; $(t_2 - t_1)$ – time of pressure relief t_c , s.

Let us write the transformant from the load acting on different loading sites using the known sine-integral Fourier transform using the formula (14):

$$\bar{\psi} = \sqrt{\frac{2}{\pi}} \cdot \frac{P_0 \cdot r_0^2}{(t_2 - t_1) \cdot v_p^2} \cdot \frac{\left(-t_2 \cdot \sin\left(\frac{t_1 \cdot v_p \cdot \xi}{r_0}\right) + t_1 \cdot \sin\left(\frac{t_2 \cdot v_p \cdot \xi}{r_0}\right) \right)}{t_1 \cdot \xi^2}, \quad (14)$$

To obtain true displacements and stresses, the inverse integral Fourier transform is performed using formulas (15-17)



1 – pressure feed $0 \leq t \leq t_1$; 2 – pressure relief $t_1 \leq t \leq t_2$; 3 – the action of inertial forces $t \geq t_2$; $t_2 - t_1 = t_c$ – time of pressure relief from the well; P_0 – the maximum value of the working agent pressure before the pressure is released

Figure 1 – Scheme of pressure change P of the working agent from time t in the well at various stages of loading

$$u_r = \frac{2}{\pi} \cdot \frac{v_p}{r_0} \cdot \int_0^\infty u_{0r} \left(\frac{r}{r_0} \right) \cdot \sin \xi \cdot d \xi, \quad (15)$$

$$\sigma_r(r, t) = \frac{2 \cdot v_p}{\pi \cdot r_0} \cdot \int_0^\infty \sigma_{0r}(\xi, r/r_0) \cdot \sin \xi \cdot d \cdot d\xi, \quad (16)$$

$$\sigma_\theta(r, t) = \frac{2 \cdot v_p}{\pi \cdot r_0} \cdot \int_0^\infty \sigma_{0\theta}(\xi, r/r_0) \cdot \sin \xi \cdot d \cdot d\xi. \quad (17)$$

In the dimensionless form of displacement and stress, taking into account the notation (9) and formulas (14-17), are determined by the formulas:

$$u_r/r_0 = \frac{2 \cdot v_p}{\pi \cdot r_0} \cdot \int_0^\infty \left[\frac{1}{G} \cdot Y_{10}(\xi, \xi) \cdot \frac{1}{A} \cdot Y_{10}(\xi, r_1, \xi) - \frac{1}{k \cdot \xi} \cdot Y_{11}(\xi, r_1, \xi) - \frac{1}{k \cdot \xi} \cdot Y_{11}(\xi, r_1, \xi) \cdot \psi(\xi) \cdot \sin d \cdot \xi \right] d\xi, \quad (18)$$

$$u_r/r_0 = \frac{2 \cdot v_p}{\pi \cdot r_0} \cdot \int_0^\infty \left[\frac{1}{G} \cdot Y_{10}(\xi, \xi) \cdot \frac{1}{A} \cdot Y_{10}(\xi, r_1, \xi) - E - \frac{1}{k \cdot \xi} \cdot Y_{11}(\xi, r_1, \xi) \cdot \psi(\xi) \cdot \sin d \cdot \xi \right] d\xi,$$

where $E = \frac{1}{k \cdot \xi} \cdot Y_{11}(\xi, r_1, \xi)$;

$$\frac{\sigma_r}{P_0} = \frac{v_p}{\pi \cdot r_0} \cdot \int_0^\infty \left[\frac{1}{Y_{10}(\xi, \xi) \cdot \frac{1}{A} \cdot Y_{00}(\xi, r_1, \xi) - F + Q + \frac{1}{k \cdot \xi \cdot r_1} \cdot Y_{11}(\xi, r_1, \xi) - Y_{01}(\xi, r_1, \xi) \cdot \psi(\xi) \cdot \sin d \cdot \xi \right] d\xi, \quad (19)$$

$$\frac{\sigma_r}{P_0} = \frac{v_p}{\pi \cdot r_0} \cdot \int_0^\infty \left[\frac{1}{Y_{10}(\xi, \xi) \cdot \frac{1}{A} \cdot Y_{00}(\xi, r_1, \xi) - F + Q + L \cdot \psi(\xi) \cdot \sin d \cdot \xi \right] d\xi,$$

where $F = Y_{01}(\xi, r_1, \xi) + r_1 \cdot Y_{10}(\xi, r_1, \xi)$;

$$Q = \frac{1}{k \cdot \xi \cdot r_1} \cdot Y_{11}(\xi, r_1, \xi);$$

$$L = \frac{1}{k \cdot \xi \cdot r_1} \cdot Y_{11}(\xi, r_1, \xi) - Y_{01}(\xi, r_1, \xi);$$

$$\frac{\sigma_\theta}{P_0} = P \cdot \int_0^\infty \left[\frac{1}{k \cdot \xi} \cdot Y_{10}(\xi, \xi) \cdot \frac{1}{A} \cdot \left(\frac{v \cdot \xi^2}{1 - 2\nu} \cdot Y_{00}(\xi, r_1, \xi) + V - \frac{v \cdot \xi}{1 - 2\nu} \cdot Y_{01}(\xi, r_1, \xi) - \frac{1}{r_1} \cdot Y_{11}(\xi, r_1, \xi) - N + \frac{1}{r_1} \cdot Y_{11}(\xi, r_1, \xi) \cdot \psi(\xi) \cdot \sin d \cdot \xi \right) \right] d\xi, \quad (20)$$

where $P = \frac{v_p}{\pi \cdot r_0}$; $V = \frac{v \cdot \xi}{r_1} \cdot Y_{10}(\xi, r_1, \xi)$; $N = \frac{v \cdot \xi}{1 - 2\nu} \cdot Y_{01}(\xi, r_1, \xi)$;

$$\bar{A} = \frac{Y_{01} J_0(\beta, \xi) - \frac{1}{k \cdot \xi \cdot \beta} \cdot Y_{11} J_1(\beta, \xi)}{k \cdot \xi \cdot Y_{00} J_0(\beta, \xi) - Y_{01} J_1(\beta, \xi) - C} \quad (21)$$

where $d = v_p \cdot t / r_0$ is the dimensionless parameter (dimensionless time) of the process;

$$C = \left(\frac{1}{\beta} \cdot Y_{10} J_1(\beta, \xi) + \frac{1}{k \cdot \xi \cdot \beta} \cdot Y_{11} J_2(\beta, \xi) \right),$$

where $k = 1 / (\nu - 1)$ – dimensionless coefficient.

Results and discussion. The initial data for the calculation: $v_p = 1000$ m/s, $t_c = 0.001$ s, $r = r_0 = 0.1$ m.

The calculation was made according to the formulas (18-21) in the following order: a dimensionless process parameter was specified, the elastic wave velocity v_p , the coefficient Poisson's ratio ν , shear modulus G , cavity radius r_0 , the value of the current medium radius r , the amplitude of the load P_0 and the law of its variation with time $\psi(t)$.

The calculation of the Fourier – Bessel integrals of rapidly oscillating functions was carried out according to a standard program using the Gauss – Kronrod quadrature formula [4] taking into account the periodic system of singularities of infinite discontinuity. They were first isolated from equation (21), and then excluded from the calculation before integration.

Based on the calculations carried out using formulas (18-20), it was found that the nature of the change in radial (tangential) stresses over time after the cessation of the force is oscillatory, with the same period of damped oscillations. The elastic system gradually returns to a stable initial state, as the action of inertia forces decreases, with alternating changes in tensile and compressive stresses of opposite sign.

It is established that the smaller the pressure release time, the greater the tensile stresses on the inner contour of the well cavity, which differ in hyperbolic dependence.

For given parameters of an elastic medium, when the reset time t_c is less than 0.01 s, a sharp increase in radial and tangential stresses is observed. This is due to the high rate of drop in the internal pressure of the working agent in the well. Figure 2 shows the dependence of the radial tensile stresses on the reset time t_c . The initial data for the calculation: $v_p = 1200$ m/s, $r_0 = 0.1$ m. Figure 3 shows the dependence of dimensionless tensile stresses on the velocity of the elastic wave at $t_c = 0.001$ s; $r_0 = 0.1$ m; $r_N = 100$ m.

With an increase in the inner radius of the cylindrical cavity in the studied range from 0.05 m to 0.3 m, the radial stresses after a discharge of the internal pressure increase in a linear relationship. Radial tensile stresses are directly proportional to the amplitude of the internal load (pressure) before it is released from the well.

The elastic wave velocity is a parameter that relates the deformation and elastic characteristics of the array, depending on the elastic modulus, Poisson's ratio and density of the elastic medium. The greater the elastic modulus and the stronger the

medium, or the higher the velocity of the elastic wave, the lower the tensile stresses arising from the discharge of the internal load.

It should be noted that the larger the external radius of the elastic medium, the more reliable the result of calculating displacements and stresses. In this case, the influence of the reflected stress wave from the inner contour of the well decreases and the stresses from the incident wave are determined more accurately.

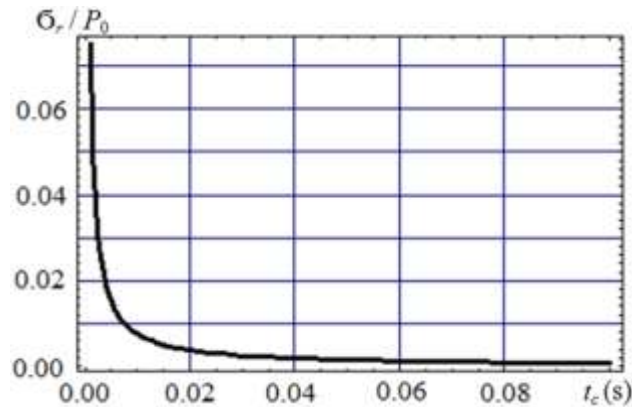


Figure 2 – Change of dimensionless radial tensile stresses σ_r/P_0 from the time of pressure drop t_c

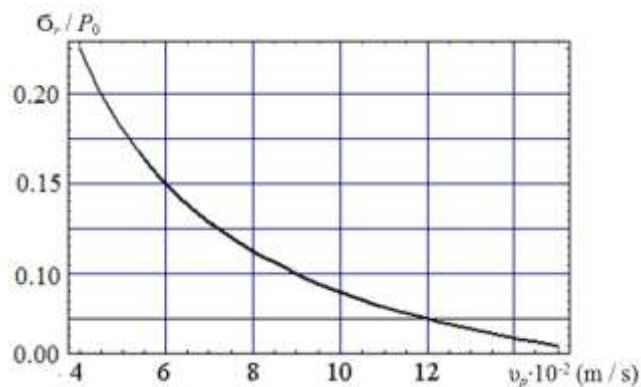


Figure 3 – Change of dimensionless radial compressive stresses σ_r/P_0 from the elastic wave velocity v_p .

Conclusions.

The determining parameters of the dynamic process of non-stationary deformation, affecting the magnitude of the formation of the zone of tensile stresses when the pressure is released from wells, are established. The main factors affecting the deformation process are: the amount of pressure before it is discharged from the well, the diameter of the well, the speed of the elastic wave in the array and the time of pressure drop in the working agent.

For the first time, a mathematical model of unsteady array deformation in the near-wellbore zone was developed, in which the well-known wave equation was solved by the method of the integral Fourier transform. An analytical solution is obtained for a plane problem for calculating displacements and stresses, which makes it possible to calculate them in semi-infinite and infinite elastic coal-bearing media.

The resulting solution is stable for the ratios of the external radius of the well to the internal equal $\infty \geq r_N/r_0 \geq 1.1$ and, as is typical for the method of integral Fourier

transform, converges slowly, which is not very convenient for carrying out operational calculations.

REFERENCES

1. Salganik, R.L. (1980). Ob effektivnykh kharakteristikakh materiala s bol'shim chislom treshchin. Vozmozhnost' geofizicheskogo opredeleniya parametrov treshchinovatosti plasta v svyazi s zadachey obespecheniya vybrosoopasnosti. – (Prepr. / *IPM AN SSSR*, №154), Moskva
2. Krylov, A.N. (1950). O nekotorykh differentsial'nykh uravneniyakh matematicheskoy fiziki, imeyushchikh prilozheniye v tekhnicheskikh voprosakh: ucheb. posobiye dlya vuzov, Leningrad: *Akademiya nauk SSSR*, 369
3. Sapelin, V.N. (2011). Nestatsionarnoye deformirovaniye uprugoy sredy pod deystviyem peremennoy vnutrenney nagruzki. *Problemy vychislitel'noy mekhaniki i prochnosti konstruksiy / Dnipropetrovs'kiy natsional'niy universitet*. – Dnipropetrovs'k: Lira, Vyp. 17, 239-245
4. Kakhaner, D., Mouler, K. (2001). Chislennyye metody i programmnoye obespecheniye, Moskva: *Mir*. 575

СПИСОК ЛІТЕРАТУРИ

1. Салганік Р.Л. (1980). Об эффективных характеристиках материала с большим числом трещин. Возможности геофизического определения параметров трещиноватости пласта в связи с задачей обеспечения выброса. – (Препр. / ИПМ АН СССР, №154), Москва
2. Крылов, А.Н. (1950). О некоторых дифференциальных уравнениях математической физики, имеющих отношение к техническим вопросам: учеб. пособие для вузов, Ленинград: Академия наук СССР, 369
3. Сапегин В.Н. (2011). Нестационарное деформирование упругой среды под действием переменной внутренней нагрузки. Проблемы вычислительной механики и прочности конструкций / Днепропетровский национальный университет. – Днепропетровск: Лира, Вып. 17, 239-245
4. Каханер Д., Мулер К. (2001). Численные методы и программное обеспечение, Москва: Мир. 575

About the author

Sapelin Volodymyr Mykolaiovych, Candidate of Technical Sciences (Ph.D.), Senior Researcher in Department of Mineral Mining at Great Depths, Institute of Geotechnical Mechanics named by N. Poljakov of National Academy of Sciences of Ukraine (IGTM, NAS of Ukraine), Dnipro, Ukraine, vladimir.sapelin10@gmail.com

Про автора

Сапегін Володимир Миколайович, кандидат технічних наук, старший науковий співробітник відділу проблем розробки родовищ на великих глибинах, Інститут геотехнічної механіки ім. М.С. Полякова Національної академії наук України (ІГТМ НАН України), Дніпро, Україна, vladimir.sapelin10@gmail.com

Анотація. У статті вперше для вирішення хвильового рівняння використано метод інтегрального перетворення Фур'є. В результаті застосування прямого і зворотного перетворення Фур'є отримано аналітичні вирази для розрахунку переміщень і напружень в свердловинах під дією змінного внутрішнього тиску. Особливості другого роду виключалися методом половинного ділення. Обчислення інтегралів Фур'є-Бесселя від швидко осцилюючих функцій здійснювалося за стандартною програмою за квадратурною формулою Гаусса-Кронрода, з урахуванням періодичної системи нескінченного розриву.

Встановлено, що характер зміни тангенціальних напружень в часі після припинення дії сили носить коливальний і затухаючий характер. Встановлено, що чим менше час скидання тиску, тим більше величина напружень, що розтягують, на внутрішньому контурі порожнини свердловини, які змінюються за гіперболічною залежністю. При заданих параметрах пружного середовища і часі скидання менш 0,01 с спостерігається різке збільшення радіальних і тангенціальних напружень. Встановлено, що характер зміни тангенціальних напружень у часі після припинення сили має коливальний характер, з тим самим періодом демпфированих коливань. Чим більше величина радіальних напружень, що стискають, в момент закінчення дії сили при скиданні навантаження, тим більше накопиченої пружної енергії переходить в радіальні і тангенціальні напруження, що розтягують. Зі збільшенням внутрішнього радіусу циліндричної порожнини в досліджуваному діапазоні від 0,05 м до 0,3 м радіальні напруження після скидання внутрішнього тиску збільшуються за лінійною залежністю. Радіальні напруження розтягу прямо пропорційні амплітуді внутрішнього навантаження (тиску) перед його скиданням зі свердловини. Отримано аналітичне рішення плоскої задачі для розрахунку переміщень і напружень, яке дозволяє розраховувати їх в напівнескінчених і нескінчених пружних середовищах. Рішення є стійким, коли відношення зовнішнього і внутрішнього радіусів пружного середовища більше або дорівнює 1000. У даній роботі розглядається фаза ініціації, яка передує шаруватому поділу пружного середовища. Надійність і практична цінність запропонованого методу розрахунку підтверджуються даними шахтних і лабораторних досліджень, отриманими іншими авторами.

Ключові слова: напруження, скидання тиску, метод інтегрального перетворення Фур'є.

Анотация. В статье впервые для решения волнового уравнения использован метод интегрального преобразования Фурье. В результате применения прямого и обратного преобразования Фурье получены аналитические выражения для расчета перемещений и напряжений в скважинах под действием переменного внутреннего давления. Особенности второго рода исключались методом половинного деления. Вычисление интегралов Фурье-Бесселя от быстро осциллирующих функций осуществлялось по стандартной программе по квадратурной формуле Гаусса-Кронрода, с учетом периодической системы бесконечного разрыва. Установлено, что характер изменения тангенциальных напряжений во времени после прекращения действия силы носит колебательный и затухающий характер. Установлено, что чем меньше время сброса давления, тем больше величина растягивающих напряжений на внутреннем контуре полости скважины, которые изменяются по гиперболической зависимости. При заданных параметрах упругой среды при времени сброса менее 0,01 с наблюдается резкое увеличение радиальных и тангенциальных напряжений. Установлено, что характер изменения тангенциальных напряжений во времени после прекращения силы имеет колебательный характер, с тем же периодом демпфирования колебаний. Чем больше величина радиальных сжимающих напряжений в момент окончания действия силы при сбросе нагрузки, тем больше накопленной упругой энергии переходит в растягивающие радиальные и тангенциальные напряжения. С увеличением внутреннего радиуса цилиндрической полости в исследуемом диапазоне от 0,05 м до 0,3 м радиальные напряжения после сброса внутреннего давления увеличиваются по линейной зависимости. Получено аналитическое решение плоской задачи для расчета перемещений и напряжений, которое позволяет рассчитывать их в полубесконечных и бесконечных упругих средах. Решение является устойчивым, когда отношение внешнего и внутреннего радиусов упругой среды больше или равно 1000. В данной работе рассматривается фаза инициации, которая предшествует слоистому разделению упругой среды. Надежность и практическая ценность предложенного метода расчета подтверждаются данными шахтных и лабораторных исследований, полученными другими авторами.

Ключевые слова: напряжения, сброс давления, метод интегрального преобразования Фурье.

Стаття надійшла до редакції 15.08.2019

Рекомендовано до друку д-ром техн. наук С.А. Курносим